

# Wyznaczanie charakterystyki prądowo-napięciowej diody rezonansowo-tunelowej (RTD) oraz zastosowanie przybliżenia adiabatycznego do wyznaczenia zjawiska kwantyzacji konduktancji w kwantowym kontakcie punktowym (QPC).

P. Wójcik

10 czerwca 2021; ostatnia aktualizacja 13 kwietnia 2023

## 1 Wstęp

Zadanie składa się z dwóch części i dotyczy symulacji transportu elektronowego przez dwa nanourządzenia:

- diodę rezonansowo-tunelową,
- kwantowy kontakt punktowy w nanodrucie 2D, w przybliżeniu adiabatycznym.

Obie metody oparte są na obliczeniach współczynnika transmisji, który określa prawdopodobieństwo tego, że elektron wstrzyknięty do lewego kontaktu opuści nanourządzenie przez prawy kontakt. Obliczenia współczynnika transmisji wykonane zostaną w oparciu o metodę macierzy transferu w 1D.

## 2 Metoda macierzy transferu

Rozważmy równanie Schrödingera 1D dla układu otwartego, z masą elektronu zależną od położenia

$$-\frac{\hbar^2}{2} \frac{d}{dz} \frac{1}{m^*(z)} \frac{d}{dz} \psi(z) + U(z) \psi(z) = E \psi(z), \quad (1)$$

gdzie  $m^*(z)$  określa masę efektywną w położeniu  $z$ , zaś  $U(z)$  to profil energii potencjalnej. Obszar nanourządzenia  $[0, L]$ , w którym zdefiniowany jest potencjał podzielmy na  $N$  części, tak małych, aby w każdym przedziale  $[z_{n-1}, z_n]$  potencjał  $U(z)$  i masę elektronu  $m^*(z)$  można było traktować jako stałe. Równanie Schrödingera dla obszaru  $[z_{n-1}, z_n]$  przyjmuje postać

$$-\frac{\hbar^2}{2m_n^*} \frac{d^2}{dz^2} \psi_n(z) + U_n \psi_n(z) = E \psi_n(z), \quad (2)$$

a jego rozwiązaniem w tym obszarze jest funkcja falowa w postaci

$$\psi_n(z) = A_n e^{ik_n z} + B_n e^{-ik_n z}, \quad (3)$$

gdzie

$$k_n = \frac{1}{\hbar} \sqrt{2m_n^*(E - U_n)}, \quad (4)$$

natomiast  $A_n$  i  $B_n$  są amplitudami fal płaskich biegnących odpowiednio w prawo i w lewo.

Zauważmy jednak, że funkcja falowa na granicy każdego z obszarów musi być ciągła, a zatem

$$\psi_n(z_n) = \psi_{n+1}(z_n). \quad (5)$$

Ciągły musi być również strumień gęstości prawdopodobieństwa

$$j_n = j_z(z_n) = \frac{i\hbar}{2m_n} \left[ \psi(z_n) \frac{d\psi^*(z)}{dz} \Big|_{z=z_n} - \psi^*(z_n) \frac{d\psi(z)}{dz} \Big|_{z=z_n} \right], \quad (6)$$

co prowadzi do warunku ciągłości

$$\frac{1}{m_n} \frac{d}{dz} \psi_n(z_n) = \frac{1}{m_{n+1}} \frac{d}{dz} \psi_{n+1}(z_n). \quad (7)$$

Stosując warunki ciągłości pomiędzy obszarami  $[z_{n-1}, z_n]$  oraz  $[z_n, z_{n+1}]$ , otrzymujemy

$$\begin{pmatrix} A_n \\ B_n \end{pmatrix} = \mathcal{M}_n \begin{pmatrix} A_{n+1} \\ B_{n+1} \end{pmatrix}, \quad (8)$$

gdzie macierz  $\mathcal{M}_n$  nazywamy macierzą monodromii.

Macierz ta jest macierzą kwadratową, której poszczególne elementy to:

$$\begin{aligned} \mathcal{M}_{n,11} &= \frac{1}{2} \left( 1 + \frac{k_{n+1} m_n^*}{k_n m_{n+1}^*} \right) \exp(i(k_{n+1} - k_n)z_n), \\ \mathcal{M}_{n,12} &= \frac{1}{2} \left( 1 - \frac{k_{n+1} m_n^*}{k_n m_{n+1}^*} \right) \exp(-i(k_{n+1} + k_n)z_n), \\ \mathcal{M}_{n,21} &= \frac{1}{2} \left( 1 - \frac{k_{n+1} m_n^*}{k_n m_{n+1}^*} \right) \exp(i(k_{n+1} + k_n)z_n), \\ \mathcal{M}_{n,22} &= \frac{1}{2} \left( 1 + \frac{k_{n+1} m_n^*}{k_n m_{n+1}^*} \right) \exp(-i(k_{n+1} - k_n)z_n). \end{aligned} \quad (9)$$

Stosując macierz monodromii kolejno pomiędzy wszystkimi obszarami otrzymujemy

$$\begin{pmatrix} A_1 \\ B_1 \end{pmatrix} = \mathcal{M}_{1 \rightarrow N} \begin{pmatrix} A_N \\ B_N \end{pmatrix}, \quad (10)$$

gdzie

$$\mathcal{M}_{1 \rightarrow N} = \mathcal{M}_1 \mathcal{M}_2 \dots \mathcal{M}_{N-1}. \quad (11)$$

Zauważmy, że w najbardziej skrajnym lewym obszarze nie ma elektronów odbitych, a zatem  $B_N=0$ .

Wówczas współczynniki odbicia i transmisji wyrażają się wzorami

$$T = \frac{k_N m_1}{k_1 m_N} \frac{|A_N|^2}{|A_1|^2}, \quad (12)$$

$$R = \frac{|B_1|^2}{|A_1|^2}, \quad (13)$$

$$(14)$$

Zakładając dodatkowo  $A_N=1$  otrzymujemy

$$T = \frac{k_N m_1}{k_1 m_N} \frac{1}{|M_{1 \rightarrow N,11}|^2}, \quad (15)$$

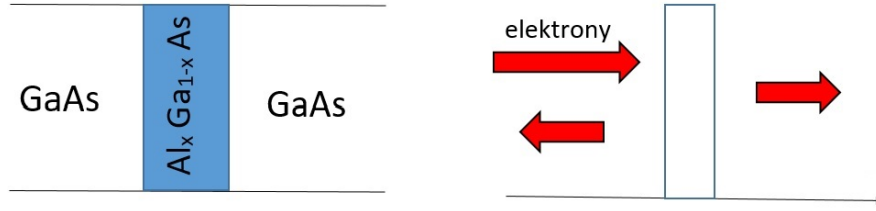
$$R = \frac{|M_{1 \rightarrow N,21}|^2}{|M_{1 \rightarrow N,11}|^2}. \quad (16)$$

$$(17)$$

Obliczenia przeprowadzamy zmieniając energię padającego elektronu i otrzymujemy dwie funkcje  $R(E)$  oraz  $T(E)$  takie, że  $T(E) + R(E) = 1$ .

## 2.1 Zadania do wykonania

Rozpatrzmy urządzenie przedstawione na rysunku 1. Ponieważ przerwa energetyczna w GaAs różni się od przerwy energetycznej w AlGaAs, potencjał jaki "widzi" elektron przepływający przez heterostrukturę ma kształt pojedynczej bariery potencjału przedstawionej na rysunku.



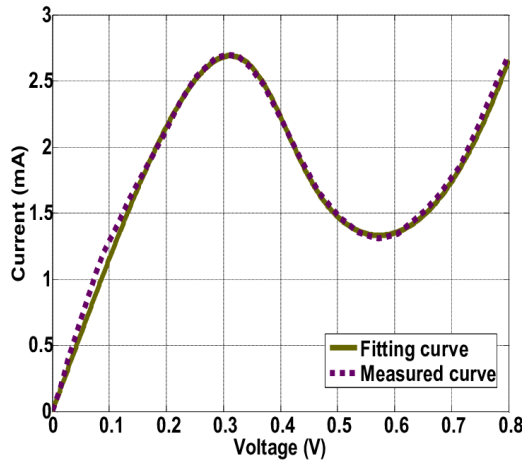
Rysunek 1: Schemat struktury tunelowej GaAs/ $\text{Al}_{0.3}\text{Ga}_{0.7}\text{As}$  wraz z efektywnym potencjałem z jakim oddziałuje elektron przepływający przez nanourządzenie.

Założmy następujące parametry urządzenia: szerokość warstwy AlGaAs,  $d_{\text{AlGaAs}} = 5 \text{ nm}$ , masa efektywna w poszczególnych materiałach  $m_{\text{GaAs}}^* = 0.063m_0$  dla GaAs, oraz  $m_{\text{AlGaAs}}^* = (0.063 + 0.083x)m_0$  dla  $\text{Al}_x\text{Ga}_{1-x}\text{As}$ . Obliczenia wykonaj dla  $x = 0.3$ , dla którego wysokość bariery  $U = 0.27 \text{ eV}$ .

1. Dla rozpatrywanego urządzenia oblicz współczynniki transmisji oraz odbicia w funkcji energii, zakładając stałą masę efektywną w nanourządzeniu  $m^* = m_{\text{GaAs}}^* = 0.063$ . Wyniki metody numerycznej porównaj z wartościami współczynnika transmisji wyznaczonymi analitycznie.
2. Oblicz współczynnik transmisji oraz odbicia zakładając zmienną masę efektywną różną dla GaAs oraz AlGaAs.

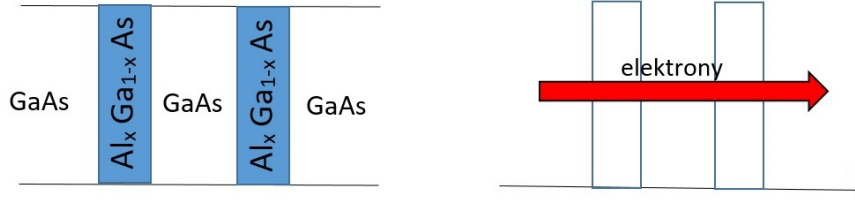
### 3 Dioda rezonansowo-tunelowa

Dioda rezonansowo-tunelowa jest planarnym urządzeniem elektronicznym charakteryzującym się nieliniowym zachowaniem prądowo-napięciowym, z charakterystycznym obszarem ujemnego oporu różnicowego - patrz rys. 2



Rysunek 2: Charakterystyka prądowo-napięciowa diody RTD z charakterystycznym obszarem ujemnego oporu różnicowego (NDR - z ang. negative differential resistance).

Typowa struktura RTD przedstawiona została na rys. 3. Zakładając strukturę półprzewodnikową jak na rysunku 3 możemy założyć, że profil potencjału w nanourządzeniu na kształt podwójnej bariery potencjału.



Rysunek 3: Schemat struktury RTD opartej na GaAs/Al<sub>0.3</sub>Ga<sub>0.7</sub>As wraz z efektywnym potencjałem z jakim oddziałuje elektron przepływający przez nanourządzenie.

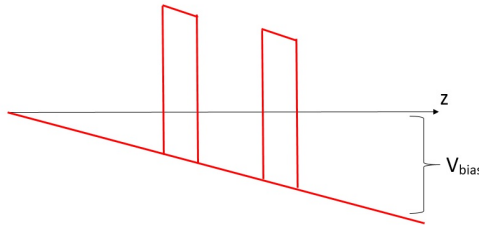
W obliczeniach założymy zmienną od położenia masę efektywną  $m_{GaAs}^* = 0.063m_0$  dla GaAs, oraz  $m_{AlGaAs}^* = (0.063 + 0.083x)m_0$  dla Al<sub>x</sub>Ga<sub>1-x</sub>As. Obliczenia wykonamy dla  $x = 0.3$ , dla którego wysokość barier  $U = 0.27$  eV, szerokość barier  $d_{AlGaAs} = 5$  nm oraz szerokość studni kwantowej  $d_{GaAs} = 3$  nm.

### 3.1 Zadania do wykonania

1. Korzystając w wcześniej opracowanej metody macierzy transferu oblicz współczynnik odbicia oraz transmisji przez rozpatrywany układ. Jaką charakterystyczną cechę transportu kwantowego można dostrzec na wykresie funkcji  $T(E)$  ?
2. Oblicz charakterystykę prądowo-napięciową diody RTD korzystając z formuły Tsu-Esakiiego

$$j = \frac{em^*k_BT}{2\pi^2\hbar^2} \int_0^\infty dE_z T(E_z) \ln \left[ \frac{1 + e^{(\mu_s - E_z)/k_BT}}{1 + e^{(\mu_d - eV_{bias} - E_z)/k_BT}} \right], \quad (18)$$

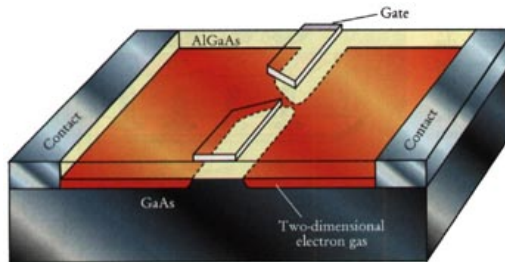
gdzie  $\mu_{s,d}$  to potencjał chemiczny źródła i drenu,  $V_{bias}$  to przyłożone napięcie, zaś  $T$  to temperatura. Proszę założyć  $\mu_s = \mu_d = 87$  meV. Proszę pamiętać, że przyłożenie napięcia do układu związane jest również z liniowym spadkiem potencjału w nanostrukturze, jak przedstawiono na rys. 4.



Rysunek 4: Liniowy spadek potencjału w wyniku przyłożenia napięcia  $V_{bias}$  do diody RTD.

## 4 Kwantowy kontakt punktowy w przybliżeniu adiabatycznym - kwantyzacja konduktancji.

Rozważmy kwantowy kontakt punktowy (QPC, z ang. quantum point contact) zdefiniowany w dwuwymiarowym gazie elektronowym 2DEG - patrz rys. 5.



Rysunek 5: Kwantowy kontakt punktowy oparty na 2DEG.

Potencjał jaki pojawia się w układzie po przyłożeniu do bramki napięcia  $V_g$  można opisać wzorem

$$V(x, y) = f[x - l, y - b] + f[x - l, t - y] + f[r - x, y - b] + f[r - x, t - y], \quad (19)$$

gdzie

$$f(u, v) = \frac{eV_g}{2\pi\epsilon} \tan^{-1} \left( \frac{uv}{d\sqrt{d^2 + u^2 + v^2}} \right), \quad (20)$$

gdzie  $\epsilon$  to przenikalność elektryczna materiału,  $l, r$  położenie lewego i prawego brzegu bramki zaś  $t, b$  to położenie graniczne bramki w kierunku pionowym, oraz  $d$  to odległość pomiędzy bramkami a 2DEG.

W ogólności układ ten jest układem dwuwymiarowym, dla którego równanie Schrödingera

$$-\frac{\hbar^2}{2m^*} \left( \frac{\partial^2}{\partial x^2} + \frac{\partial^2}{\partial y^2} \right) \psi(x, y) + V(x, y)\psi(x, y) = E\psi(x, y). \quad (21)$$

Przybliżenie adiabatyczne zakłada, że gdy zmiana potencjału w kierunku  $x$  jest dużo wolniejsza niż w kierunku poprzecznym  $y$ . Wtedy możemy założyć, że

$$\psi(x, y) = \sum_n \phi_n(x) \chi_n(y; x) \quad (22)$$

gdzie  $\chi(y; x)$  oznacza, że  $\chi$  jest funkcją zmiennej  $y$  ze stałym parametrem  $x$ .

Przy tym założeniu równanie Schrödingera możemy rozseparować na dwa równania (szczegóły przedstawiono na wykładzie)

$$-\frac{\hbar^2}{2m^*} \frac{\partial^2}{\partial y^2} \chi_n(y) + V(y; x) \chi_n(y; x) = E_n \chi_n(y; x) \quad (23)$$

$$\left[ -\frac{\hbar^2}{2m^*} \frac{\partial^2}{\partial x^2} + E_n(x) \right] \phi_n(x) = E \phi_n(x) \quad (24)$$

Badanie transportu elektronowego przez rozpatrywany układ polega na rozwiązaniu drugiego z równań dla potencjału  $E_n(x)$  gdzie  $n = 1, 2, 3, \dots$ , uzyskanego z diagonalizacji pierwszego z nich dla określonych parametrów  $x$ .

W obliczeniach proszę założyć następujące wartości parametrów materiałowych: masa efektywna  $m_{GaAs}^* = 0.063$ , stała dielektryczna  $\epsilon = 13.6$  szerokość 2DEG  $W = 50$  nm, długość 2DEG  $L = 100$  nm, położenie bramek QPC w zakresie  $[0.3, 0.7]L$  z odległością między bramkami  $0.6W$ , zaś  $d = 3$  nm oraz  $V_g = 4$  eV.

## 4.1 Zadania do wykonania

1. Narysuj efektywny potencjał z jakim oddziałuje elektron przepływający przez QPC, tzn.  $E_n(x)$ , dla  $n = 1, 2, 3, \dots$
2. Korzystając z formuły Landauera oblicz konduktancję w funkcji padającego elektronu  $G(E)$ , przy czym

$$G = \frac{2e^2}{h} \sum_n T_n(E) \quad (25)$$

3. Korzystając z formuły Landauera oblicz konduktancję w funkcji napięcia na bramce, dla dwóch wybranych wartości energii Fermiego,  $E = 50$  meV oraz  $E = 100$  meV.